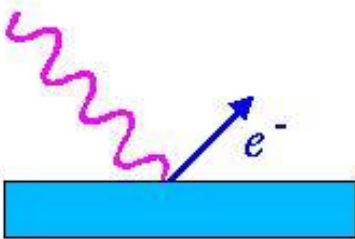


# *Efeito Fotoelétrico*



Emissão de **elétrons** provocada pela incidência de **radiação eletromagnética** sobre algum **material**

Heinrich Hertz 1886 - descoberta do efeito

Wilhelm Hallwachs 1888 - primeiras experiências

J.J. Thomson 1899 - emissão de elétrons

Philip Lenard 1902 - medidas da energia dos elétrons

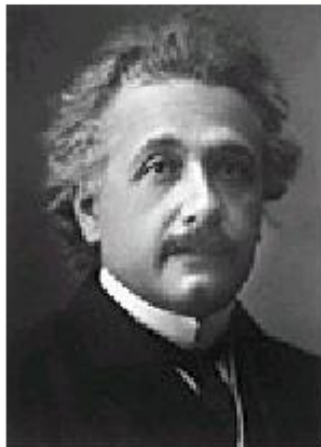
A. Einstein 1905 - teoria do fóton

R. Millikan 1915 - verificação da teoria de Einstein



## *Efeito fotoelétrico*

<http://www.nobel.se/physics/laureates/>



### Prêmio Nobel de Física 1921

"pelos seus serviços para a Física Teórica, e especialmente pela sua descoberta da lei do **efeito fotoelétrico**"

**Albert Einstein**

(1879- 1955)



### Prêmio Nobel de Física 1923

"pelo seu trabalho sobre a carga elementar e sobre o **efeito fotoelétrico**"

**Robert Andrews Millikan**

(1868- 1953)

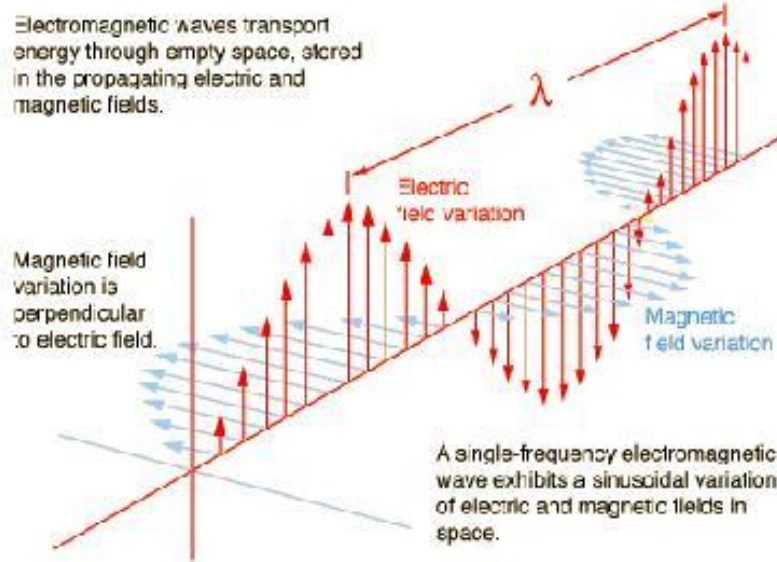
## **Teoria clássica do eletromagnetismo (Maxwell 1865)**

Onda Eletromagnética. Ex:

$$\vec{E} = A \hat{\epsilon} \cos(\vec{k} \cdot \vec{r} - \omega t + \delta)$$

Vetor de Poynting:

$$\vec{S} = \frac{1}{\mu_0} (\vec{E} \times \vec{B})$$



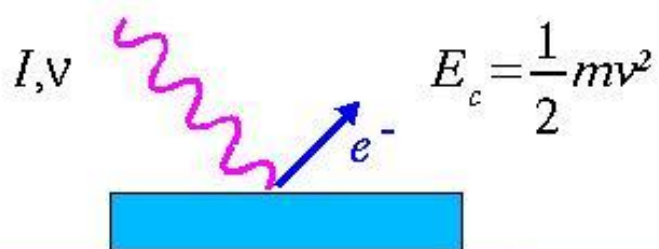
Intensidade da onda E- M:

$$I = \langle \vec{S} \rangle \cdot \hat{u} = \frac{1}{2} \epsilon_0 A^2$$

$$I = \frac{\Delta U}{\Delta a \Delta t} \quad (\text{energia/área/tempo})$$

A: Amplitude do campo elétrico

## *Teoria clássica do E- M*      $\times$      *Efeito fotoelétrico*



### *Previsões:*

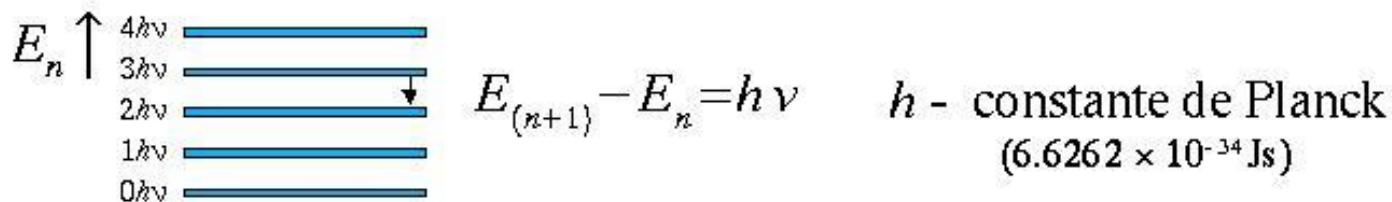
- 1) A energia cinética dos elétrons ( $E_c$ ) deveria aumentar com a intensidade ( $I$ ) da onda E- M.
- 2) Deveria “demorar” para haver emissão de elétrons, dependendo de  $I$ .
- 3)  $E_c$  não deveria depender criticamente da freqüência ( $v$ ) da onda E- M.

### *Observações:*

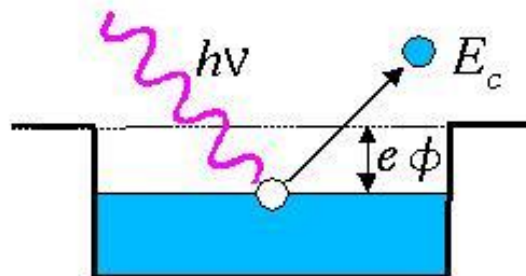
- 1)  $E_c$  não varia com  $I$
- 2) Não há atraso perceptível
- 3) Para frequências baixas não ocorre e.f.e.

## A teoria de Einstein explica o e.f.e.

Planck (1900), quantização do osc. harmônico:  $E_n = nh\nu$   
explica a radiação de corpo negro



Einstein (1905), fóton:  $E_f = h\nu$



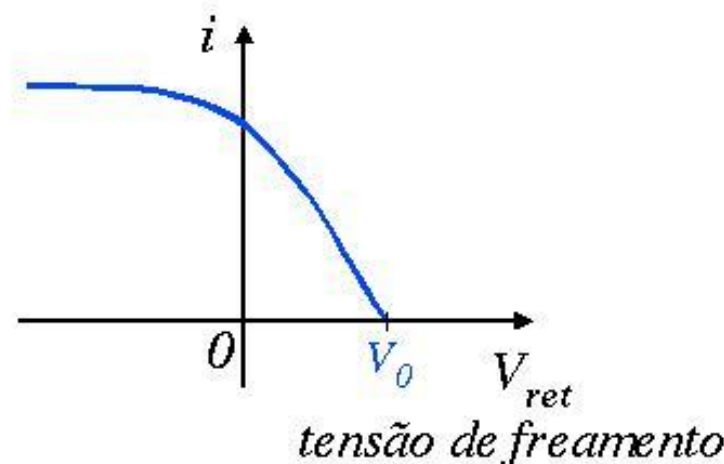
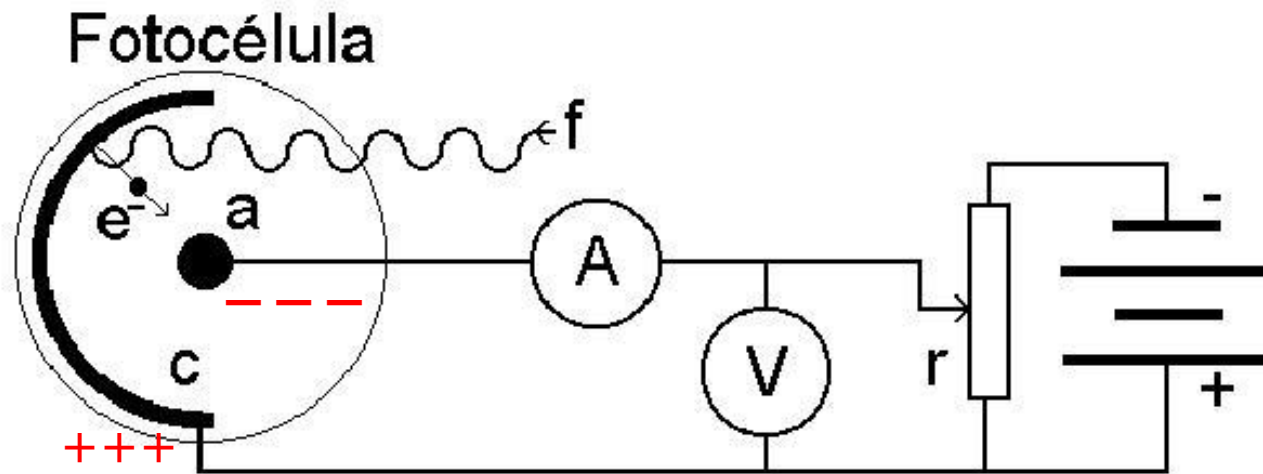
Conservação de energia:

$$E_c^{\max} = h\nu - e\phi$$

$e$ : carga do elétron ( $1.6022 \times 10^{-19} \text{ C}$ )  
 $\phi$ : função de trabalho (V)

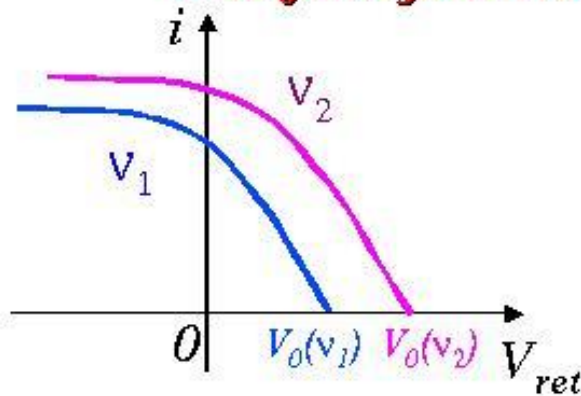
- 1) ✓
- 2) ✓
- 3) ✓

## Como medir a energia cinética máxima dos foto-elétrons

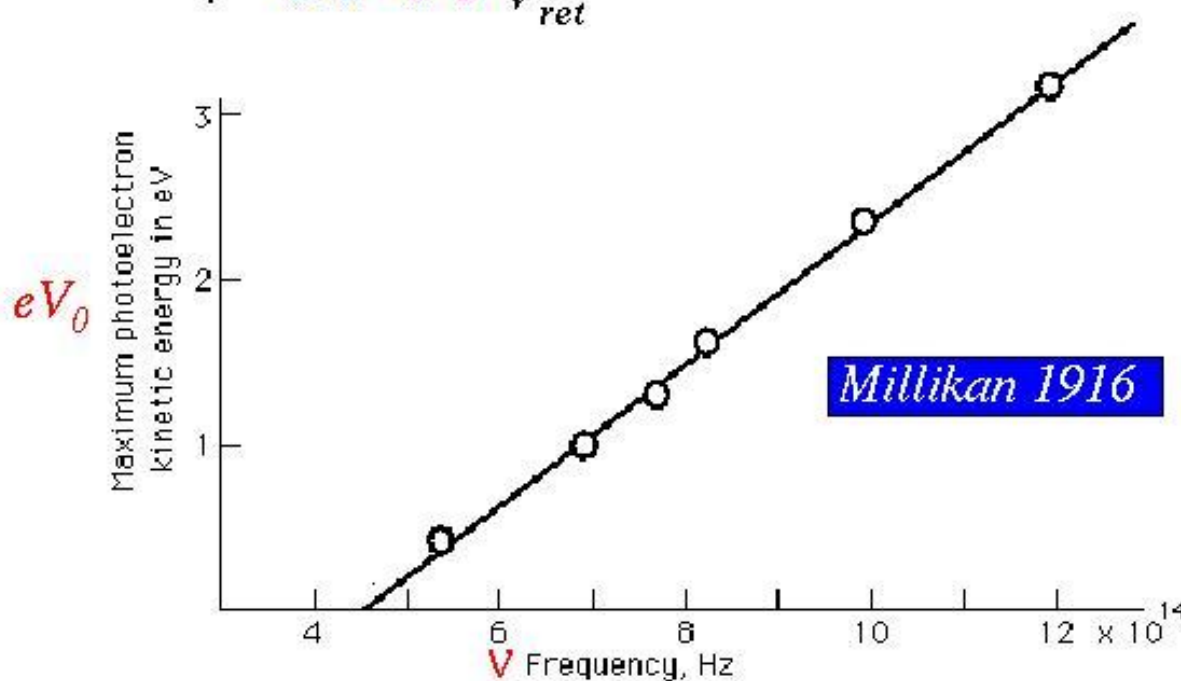


$$E_c^{\max} = eV_0$$

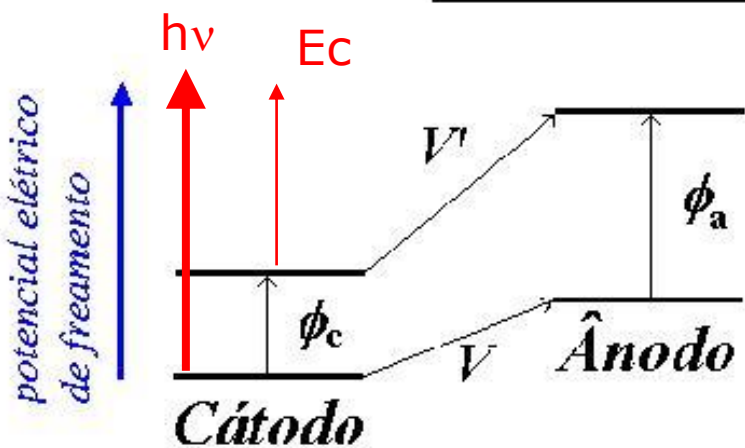
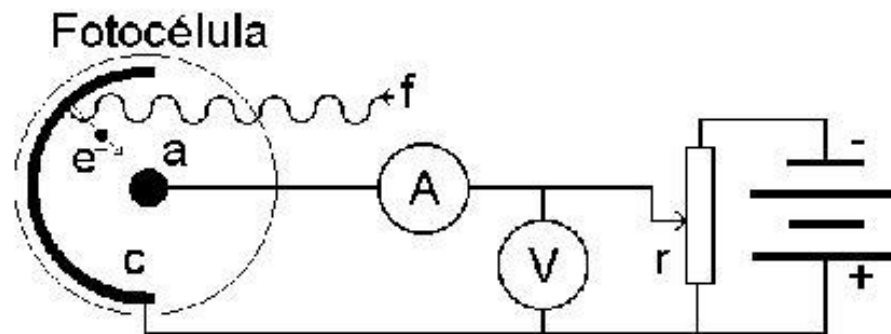
## Verificação das previsões de Einstein



$$eV_0(\nu) = h\nu - e\phi$$



*Considerações sobre o “potencial de contato”:*  $\phi_a - \phi_c$



Campo conservativo

$$\phi_c + V' = \phi_a + V$$

$$eV'_0 = e\phi_a - e\phi_c + eV_0$$

$$E_c^{\max} = h\nu - e\phi_c = eV'_0$$

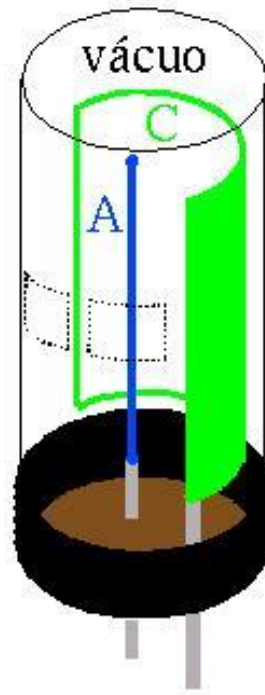
$$eV_0 = h\nu - e\phi_a$$

## *Equipamento para medida do efeito fotoelétrico*



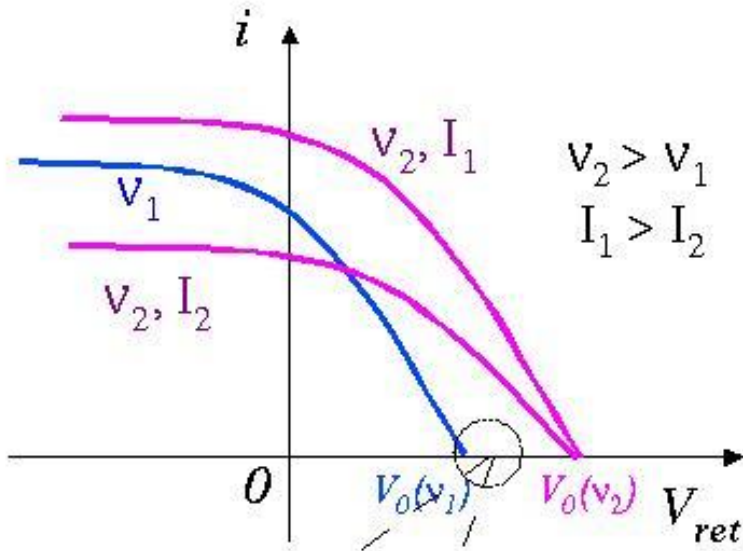
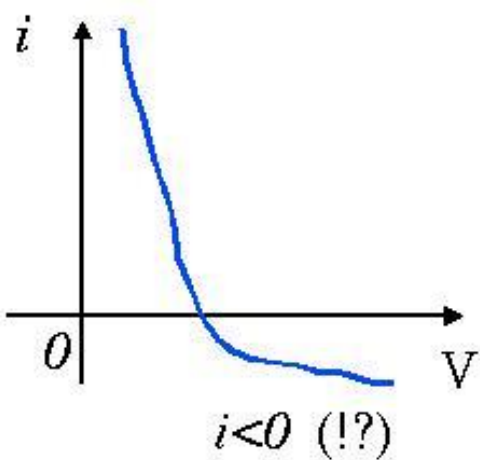
Côr	$\lambda(\text{\AA})$
Ultra-violeta	3654.83
Violeta	4046.56
Azul	4358.35
Verde	5460.74
Amarela	5789.69, 5769.60 (Dublito)

## *A Célula Fotoelétrica*

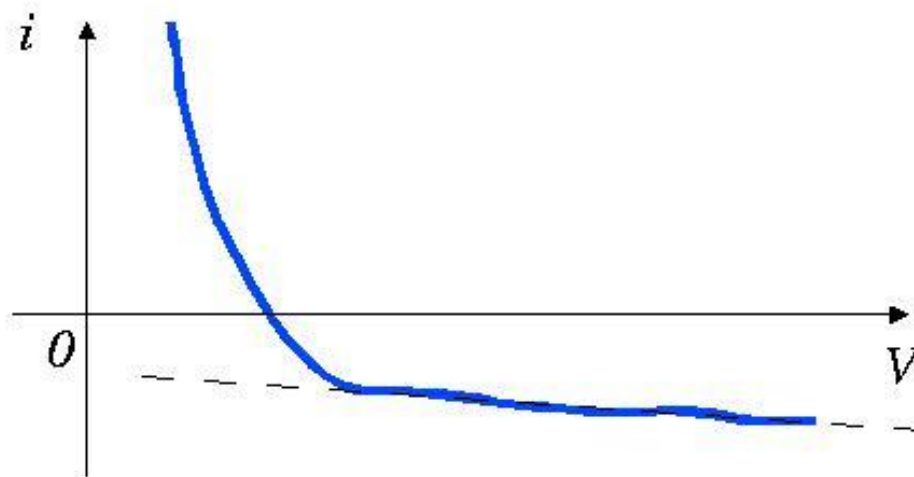


## Procedimentos - Parte I

- 0) Ler a apostila
- 1) Identificar as raias do Hg e as ligações do circuito elétrico etc.
- 2) Fazer medidas “interessantes” seguindo sugestões da apostila
- 3) Tentar entender tudo



## *Correntes espúreas*



$$i = i_c + i_\alpha + i_f$$

Corrente medida

Corrente de cátodo  
(a que interessa)

Corrente de ânodo  
( $\approx$  cte  $< 0$ )

Corrente de “fundo”:  
fuga ( $= -V/R_f$ ) +  
ambiente + ...

## Obtenção de $i_c(V)$

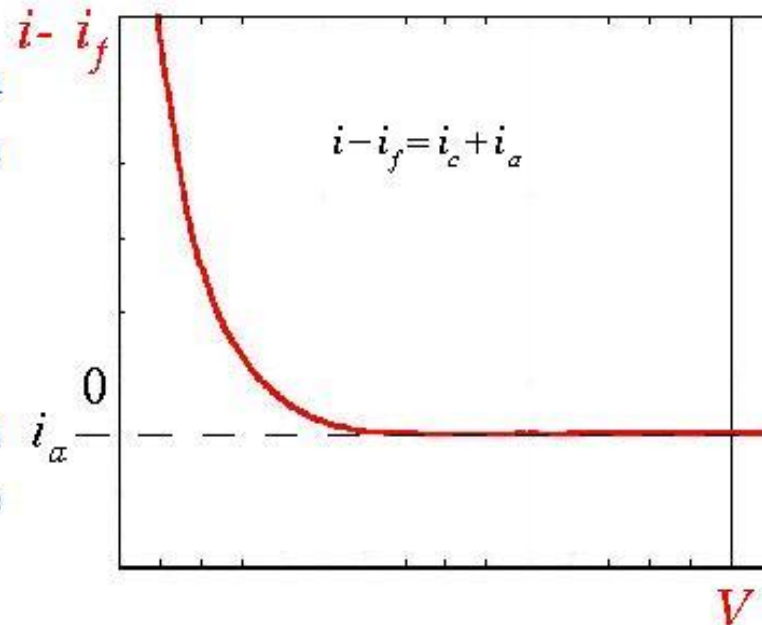
- 1) Medir  $i_f$ : a corrente de “fundo”, isto é, a que se obtém bloqueando a saída da Lâmpada de Hg, e que corresponde a:

$$i_f = i_{amb} - \frac{V}{R_f} + \dots$$

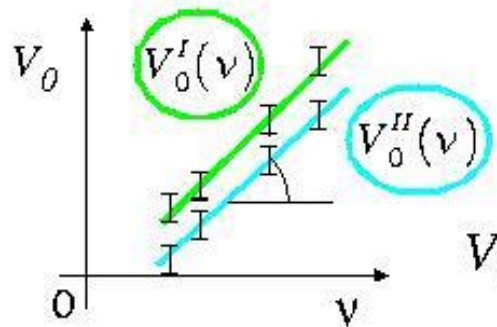
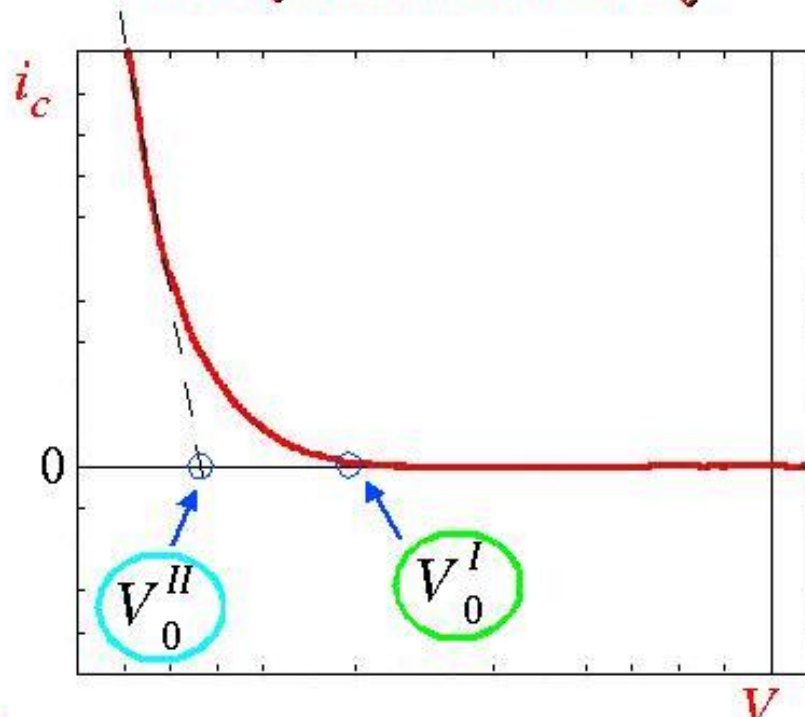
- 2) Subtrair  $i_f$  ponto a ponto (em função de  $V$ ) das medidas de cada raia para obter:

$$i - i_f = i_c + i_\alpha$$

- 3) Ajustar uma constante ( $i_\alpha$ ) para a região de  $V > V_0$  onde supõe-se que  $i_c = 0$ , e subtrair.



*Mas afinal, onde está  $V_0$ ?*



Erro sistemático grande em  $\phi_a$ ,  
mas possivelmente  
tolerável no coef. angular:

$$V_0 = \frac{h}{e}v - \phi_a$$

$$\frac{\Delta V_0}{\Delta v} = \frac{h}{e}$$

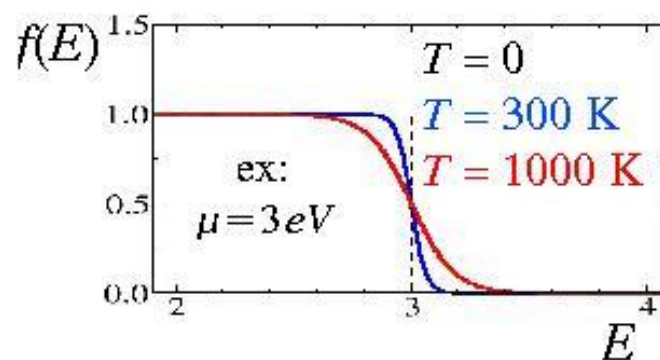
## **Mas..., por quê a curva de $i(V)$ é assintótica?**

Era tudo mentira! Não existe energia cinética máxima dos elétrons (bom..., quase: a não ser no zero absoluto,  $T = 0$  K).

Complicou. Elétrons são férmons, e obedecem a estatística de **Fermi- Dirac**. A probabilidade de ocupação de um estado de energia  $E$  depende da temperatura e do potencial químico  $\mu$  segundo a fórmula:

$$f(E) = \frac{1}{e^{\frac{E-\mu}{kT}} + 1}$$

$k$  = constante de Boltzman



A curva de  $i(V)$  depende de  $T$  e da **geometria** da fotocélula

### Referências históricas:

R.H. Fowler, Phys. Rev. **38**, 15 (1931)

L.A. DuBridge, Phys. Rev. **39**, 108 (1931)

L.A. DuBridge, Phys. Rev. **43**, 727 (1933) \*

\* Xerox PASTA 14

# *Curvas teóricas para o efeito fotoelétrico*

W.W. Roehr, Phys. Rev. 44, 866 (1933)\*

ENERGY DISTRIBUTION OF PHOTOELECTRONS

867

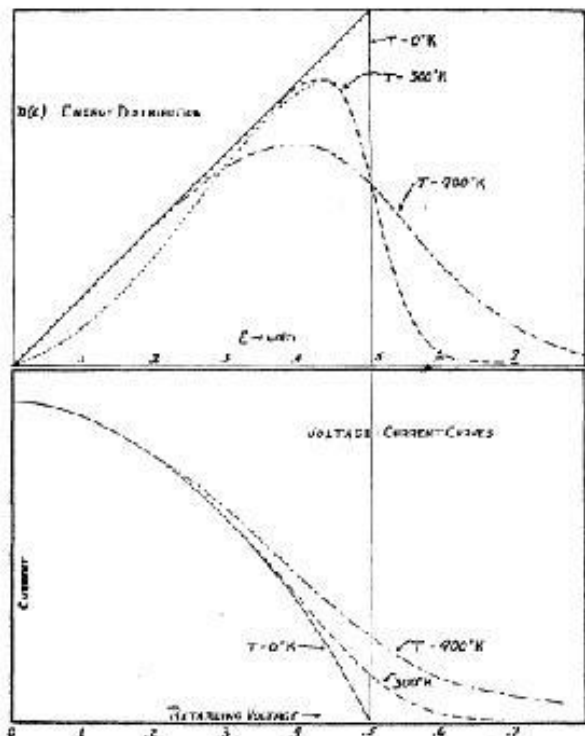
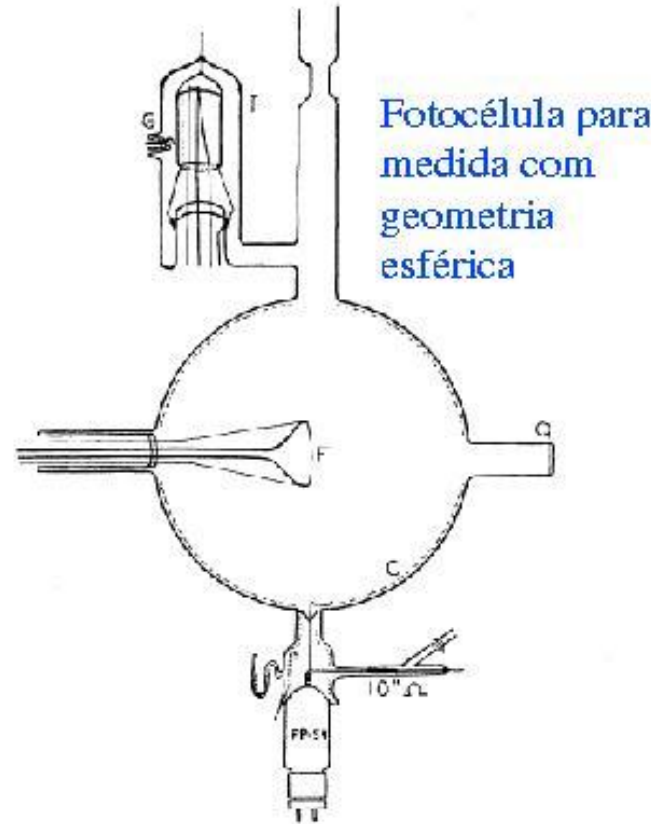


FIG. 1. Theoretical energy distribution and voltage-current curves for three temperatures.



# *Curvas de corrente versus tensão para diversos $\lambda$ e temperaturas*

ENERGY DISTRIBUTION OF PHOTOELECTRONS

869

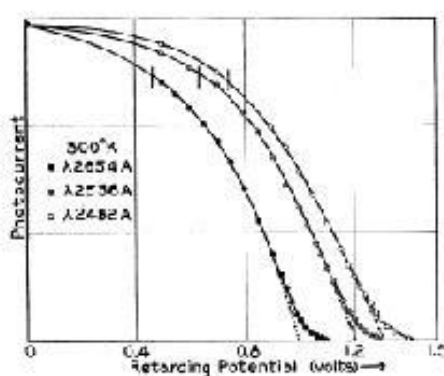


FIG. 4. Current-voltage curves for room temperature.

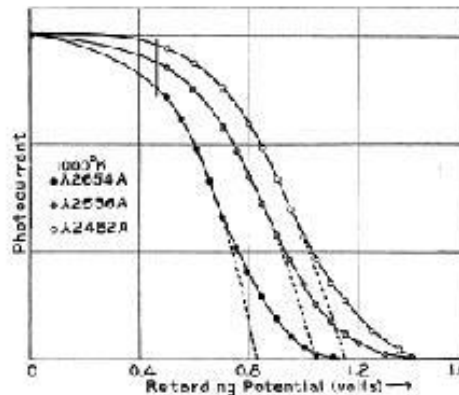


FIG. 5. Current-voltage curves for 1000°K.

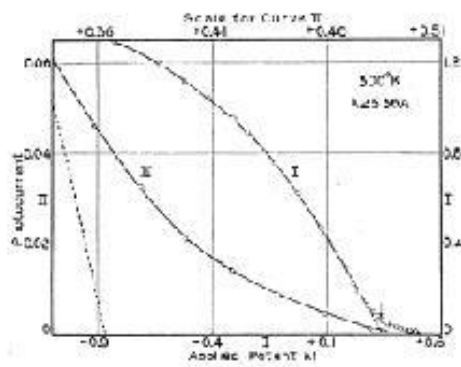
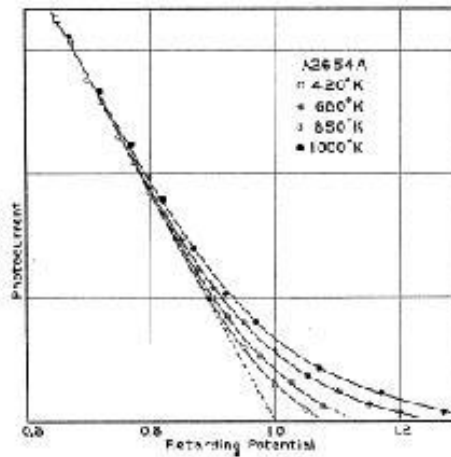
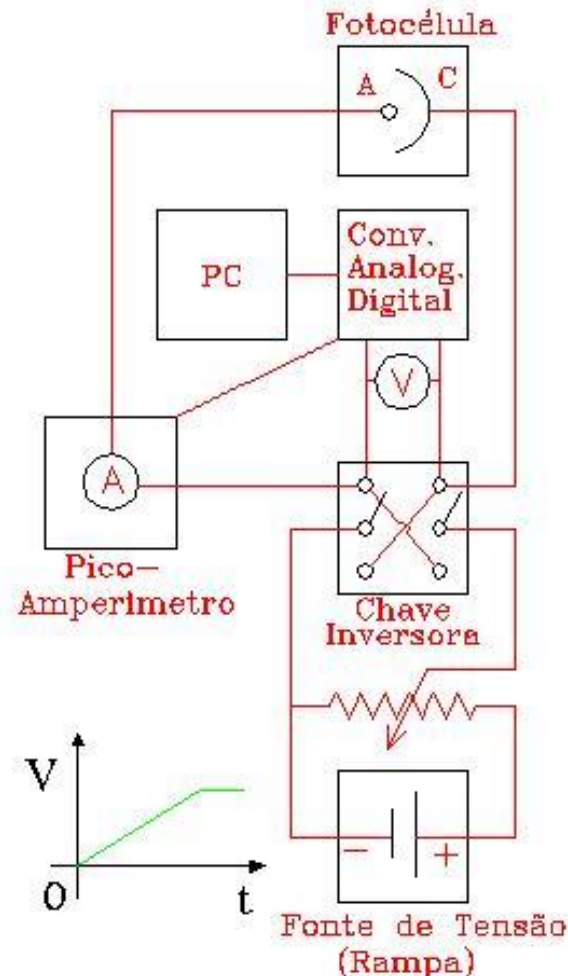


FIG. 6. I. Current-voltage curve for frequency far from threshold. II. Enlargement of tail of Curve I showing asymptotic approach.



W.W. Roehr,  
Phys. Rev. 44,  
866 (1933)

## Procedimentos - Parte II



- 0) Verificar circuito (polaridades, etc.), e funcionamento do programa de aquisição.
- 1) Calibrar o CAD (*uma vez*)
- 2) Focalizar uma raia do Hg na fotocélula.
- 3) Escolher escala do pico-amp.
- 4) Disparar rampa e em seguida a aquisição.
- 5) Guardar os dados e passar para outra (2).

